

# مقاآم‌سازی ستون‌های دایره‌ای آسیب‌دیده با استفاده از CFRP

امید یوسفی<sup>۱\*</sup>، امیراحمد هدایت<sup>۲</sup>، کامبیز نرماشیری<sup>۳</sup>، علی کاربخش<sup>۴</sup>، امین شبانی عماری<sup>۵</sup>

- ۱- استادیار گروه عمران، واحد نیکشهر، دانشگاه آزاد اسلامی، نیکشهر، ایران
- ۲- دانشیار گروه عمران، واحد کرمان، دانشگاه آزاد اسلامی، کرمان، ایران
- ۳- دانشیار گروه عمران، واحد زاهدان، دانشگاه آزاد اسلامی، زاهدان، ایران
- ۴- استادیار گروه سیرجان، واحد سیرجان، دانشگاه آزاد اسلامی، سیرجان، ایران
- ۵- کارشناسی ارشد گروه عمران، واحد زاهدان، دانشگاه آزاد اسلامی، زاهدان، ایران

Omid.yousefi88@gmail.com

تاریخ پذیرش ۱۴۰۰/۰۸/۰۹

تاریخ دریافت ۱۴۰۰/۰۱/۲۷

## چکیده

بیشتر اعضای سازه‌هایی که عمر مفید آن‌ها سپری شده است نیاز به تعمیر دارند، این اعضا ممکن است توسط عوامل مختلف آسیب بینند که با توجه به هزینه بالای بازسازی، بخش عمداتی از بودجه عمرانی کشورهای پیشرفته، سالانه صرف ترمیم و بازسازی این سازه‌ها می‌شود. اعضای فشاری مانند ستون‌ها یکی از مهم‌ترین اجزای سازه هستند که در تحمل و انتقال کلیه بارهای عمودی و جانبی ساختمان نقش اساسی دارند. به طور کلی، هیچ ستونی نمی‌تواند به اندازه تمام ظرفیت خود تحمل کند و تحت کمانش دچار شکست می‌شود، درنتیجه بسیاری از پژوهشگران علاقه‌مند به مقاوم‌سازی و افزایش مقاومت ستون با استفاده از مواد و روش‌های جدید هستند. در این پژوهش ستون‌های دایری شکل فولادی با آسیب اولیه به صورت عمودی یا افقی با درصدهای مختلف ۲۵، ۵۰ و ۱۰۰ بررسی شدند و تأثیر استفاده از الیاف پلیمری تقویت شده به فیبر کربن (Carbon Fiber Reinforced Polymer) برای مقاوم‌سازی مطالعه شد. تعداد ۲۶ نمونه ستون دایری شکل فولادی با ارتفاع یکسان و ابعاد آسیب متفاوت تحت بار فشاری توسط نرم‌افزار آباکوس (ABAQUS)، تحلیل شدند. عده مشکل ستون‌های لاغر، کمانش کلی (Global Buckling) تحت بارهای فشاری است. برای افزایش دقت تحلیل از روش ترکیبی برای مطالعه کمانش‌های ناحیه خمیری بعد از کمانش اولیه استفاده شد. به این ترتیب ابتدا نمونه‌ها تحت تحلیل کمانشی قرار گرفتند و در ادامه از روش تحلیل غیرخطی ریکس (Riks) با درنظر گرفتن ناکاملی (Imperfection) به صورت کلی و موضعی برای تحلیل نمونه‌ها استفاده شد. نتایج نشان داد که ستون آسیب‌دیده دچار کاهش ظرفیت باربری و سختی شد، همچنین شکل افقی آسیب نسبت به شکل عمودی در کاهش باربری نهایی مؤثرتر بود و توانست ظرفیت باربری را در آسیب ۱۰۰ درصدی تا ۵۲٪ کاهش دهد که این میزان کاهش نشان داد که هر اندازه که طول محیط ستون بیشتر آسیب بینند شدت کاهش باربری نهایی بیشتر است. همچنین نتایج نشان دادند که حالت بحرانی زمانی است که کل ناحیه آسیب‌دیده دچار تخریب ۱۰۰ درصدی شود به طوری که تأثیر آسیب با درصدهای کمتر از ۲۵ درصد حداقل ۲/۶۶ درصد بود. حالت شکست در ستون لاغر به صورت کمانش کلی و موضعی اتفاق افتاد که همه ستون‌ها کمانش کلی را به شکل خم شدن ستون تجربه کردند ولی کمانش موضعی با توجه به نوع آسیب متفاوت بود. برای ستون بدون آسیب، حالت شکست، کمانش کلی با تمرکز در میانه ستون بود؛ در ستون با آسیب افقی ۱۰۰ درصد، ناحیه آسیب‌دیده دچار جمع‌شدگی شد و ستون با آسیب عمودی حالت شکست را به صورت بازشدگی ناحیه نقص تجربه کرد. در نمونه‌های با درصد آسیب کمتر، کمانش موضعی برای آسیب افقی به شکل تورفتگی مقطع در میانه ستون و برای آسیب عمودی به شکل بیرون آمدگی اتفاق افتاد. مقاوم‌سازی ستون‌ها با الیاف کربنی نشان داد که این الیاف تأثیر مناسبی در افزایش مقاومت، کنترل گسیختگی و کاهش تنش‌ها در محل آسیب‌دیده دارند و مقاوم‌سازی با ۴ لایه الیاف CFRP نمونه‌های آسیب‌دیده، توانست مقدار کاهش بار نهایی را تا ۵۱٪ جراث نماید که نشان از عملکرد مناسب این الیاف در مقاوم‌سازی دارد.

واژگان کلیدی: مقاوم‌سازی، ستون آسیب‌دیده، ستون فولادی، کمانش ستون، CFRP

## ۱- مقدمه

که استفاده از الیاف CFRP باعث افزایش بار نهایی در نمونه‌های مقاوم سازی شده می‌شود [۵]. شهرکی و همکاران (۲۰۱۹) مطالعه‌ای را روی ستون‌های فلزی دارای نقص انجام دادند آن‌ها از پروفیل قوطی با مقاطع  $40 \times 40$  میلی‌مترمربع با ارتفاع ۲۵۰۰ میلی‌متر استفاده کردند و دریافتند که وجود آسیب باعث کاهش ظرفیت باربری ستون می‌شود و استفاده از CFRP باعث کاهش تنش‌ها در اطراف آسیب می‌شود [۶]. کیخا (۲۰۱۹)، مطالعه‌ای را روی ارزیابی عملکرد سازه‌ای اعضای فولادی قوطی شکل آسیب‌دیده و مقاوم سازی شده با الیاف CFRP تحت ترکیب بار خمش، پیچش و بار موضعی انجام داد، نتایج نشان داد که آسیب باعث کاهش ظرفیت باربری می‌شود و در طول بارگذاری مقدار تنش‌ها در ناحیه آسیب‌دیده افزایش می‌یابد [۷]. ونگ و همکاران (۲۰۲۱)، مطالعه‌ای را روی ستون‌های فولادی دایروی و پرشده با بتون انجام دادند و در این پژوهش ستون‌های مقاوم سازی شده با CFRP، تحت ترکیب بار فشاری، خمشی و پیچشی قرار گرفتند و رفتار سازه‌ای و حالت‌های شکست نمونه‌ها بررسی شدند، همچنین رابطه طراحی و تعیین ظرفیت باربری نهایی ستون‌ها تحت این ترکیب بار ارائه شد [۸]. یوسفی و همکاران (۲۰۱۷)، در مطالعه‌ای آزمایشگاهی و نرم‌افزاری، مقاوم سازی تیر فولادی با آسیب اولیه به صورت یک‌طرفه و دو‌طرفه روی بال کششی را بررسی کردند، نتایج نشان داد که آسیب دو‌طرفه باعث کاهش ظرفیت باربری نسبت به آسیب یک‌طرفه می‌شود و همچنین آسیب یک‌طرفه علاوه بر کاهش باربری نهایی، کمانش کلی تیر را افزایش می‌دهد، مقاوم سازی با الیاف کاهش باربری را جبران کرد و در کاهش کمانش تیر نیز مؤثر بود [۹]. قائم دوست و همکاران (۲۰۱۶)، پژوهشی را در مورد ستون‌های کوتاه قوطی شکل فولادی با آسیب اولیه انجام دادند که در آن آسیب به صورت افقی و عمودی در گوشه و مرکز ستون در نظر گرفته شد، آن‌ها دریافتند که آسیب گوشه تأثیر بیشتری در کاهش بار نهایی دارد [۱۰]. کریمیان و همکاران (۲۰۱۷)، مطالعه‌ای را در مورد مقاوم سازی ستون‌های فولادی دایروی شکل کوتاه دارای آسیب توسط الیاف کربنی انجام دادند، آن‌ها دریافتند که وجود آسیب باعث کاهش ظرفیت باربری ستون‌های فولادی خواهد شد و آسیب‌های ایجاد شده باعث افزایش تغییر شکل‌های محوری و کمانش موضعی در

امروزه در دنیا بسیاری از سازه‌های زیربنایی که در گذشته ساخته شده‌اند به دلایل مختلف از قبیل تغییر کاربری، مسائل خوردگی و خطاهای طراحی، فقد مقاومت و شکل پذیری لازم در برابر بارهای اعمالی تشخیص داده می‌شوند؛ از آنجایی که جایگزینی سازه‌ها وقت و هزینه‌ی زیادی می‌طلبد مقاوم سازی یک راه حل قابل قبول برای بهبود ظرفیت تحمل بار و افزایش عمر بهره‌برداری است. استفاده از الیاف کربنی با اتصال چسبنده به عنوان یک ماده تقویت‌کننده خارجی برای بازیابی مقاومت ستون‌های فولادی در دهه‌های اخیر مورد مطالعه قرار گرفته است که بیشتر به دلیل نسبت مقاومت بالا به وزن، مقاومت در برابر خوردگی استثنایی و به ویژه مقاومت کششی زیاد این الیاف است.

جیو و ژائو (۲۰۰۴)، از CFRP برای تقویت و مقاوم سازی لوله‌ی فولادی درزدار که درز آن‌ها لبه‌لب جوش شده بود استفاده کردند، آن‌ها دریافتند که مقاومت کششی این لوله‌ها بین ۲۵٪ تا ۷۶٪ افزایش می‌یابد [۱]. شت و فام (۲۰۰۶)، در مطالعه‌ای که روی مقاوم سازی ستون‌های کوتاه با الیاف CFRP انجام دادند، دریافتند که لایه‌های عرضی در محدود کردن کمانش موضعی بیرونی ستون تأثیر بیشتری دارند و مقاوم سازی ظرفیت باربری ستون کوتاه را تا ۱۸٪ و اعضای بلند را بین ۱۳٪ تا ۲۳٪ افزایش می‌دهد [۲]. جانو و همکاران (۲۰۱۳)، لوله‌های توخالی فولادی را با ورق‌های CFRP تقویت کردند، آن‌ها دریافتند که تعداد لایه‌های استفاده شده، در افزایش مقاومت و سختی لوله‌ها مؤثر است [۳]. هی و همکاران (۲۰۱۱)، به بررسی رفتار ستون دایروی فولادی پرشده با بتون معمولی، بتون بازیافتی و مقاوم سازی شده با CFRP تحت فشار پرداختند. تعداد ۱۰ ستون دایروی مقاوم سازی شده با الیاف کربن به صورت آزمایشگاهی مطالعه شدند، بررسی آن‌ها نشان داد که استفاده از CFRP برای مقاوم سازی باعث بالا رفتن ظرفیت فشاری و بار کمانش می‌شود و استفاده از این الیاف به صورت نیمه دورپیچ دارای کرنش فشاری محوری کمتر نسبت به دورپیچ کامل است [۴]. ژو و همکاران (۲۰۲۱)، استفاده از الیاف CFRP برای مقاوم سازی ستون‌های فولادی دایروی شکل پرشده با بتون را بررسی کردند، در این پژوهش ستون‌ها به صورت نرم‌افزاری تحت بارگذاری فشاری مطالعه شدند و نتایج نشان داد

آسیب ۱۰۰ درصد، کل ناحیه آسیب‌دیده تخریب شده است. انتخاب ابعاد و شکل آسیب با توجه به مطالعه انجام‌شده توسط قائم دوست و همکاران (۲۰۱۶) [10] و کریمیان و همکاران (۲۰۱۷) [11] که از شکل آسیب مستطیلی به صورت افقی و عمودی برای ایجاد نقص روی ستون کوتاه استفاده کردند و همچنین انجام تحلیل‌های اولیه نرم‌افزاری صورت گرفت.

#### ۱-۲- مشخصات ستون فولادی

ستون دایروی شکل فولادی مطالعه شده، از نوع سرد نورد شده (Cold-Formed)، با ارتفاع ۳۰۸۳ میلی‌متر، قطر ۱۰۵/۶۷ میلی‌متر و ضخامت ۲/۷۰ میلی‌متر است. این مقادیر از مطالعه انجام شده توسط بوچنان و همکاران (۲۰۱۸) [13]، استخراج شده‌اند. مشخصات هندسی ستون دایره‌ای شکل توخالی و خواص مواد آن در جدول (۱) ارائه شده است و مشخصات آسیب‌های افقی و عمودی ایجاد شده به همراه شرایط مرزی ستون در شکل (۱) قابل مشاهده است.

#### ۲-۱- خواص الیاف کربنی

در این پژوهش برای مقاوم‌سازی ستون‌ها از الیاف کربنی (SikaWrap®-230 C) با ضریب ارجاعی ۲۳۸۰۰۰ مگاپاسکال، ضخامت نوار ۰/۱۳۱ میلی‌متر و نسبت پواسون ۰/۱۲ استفاده شده است. این الیاف به صورت یک‌جهته (Unidirectional) هستند. منحنی تنش-کرنش این مواد، رفتار کشسان خطی را تا مرحله گسیختگی بدون هیچ نقطه جاری شدن مشخصی را نشان می‌دهد. ویژگی‌های الیاف کربنی در جدول (۲) آورده شده است.

#### ۲-۲- خواص چسب

چسب استفاده شده در این مطالعه پیشنهاد شده توسط سازنده الیاف کربنی است. چسبی که معمولاً برای این نوع از الیاف کربنی استفاده می‌شود چسب سیکادور ۳۳۰ (Sikadur®-330) [15] است. این چسب، ضریب ارجاعی ۴۵۰۰ مگاپاسکال و مقاومت کششی ۳۰ مگاپاسکال را دارد. خواص چسب از مطالعه انجام شده توسط کریمیان و همکاران (۲۰۱۷) [11] و شرکت سازنده استخراج شده است. در جدول (۲) مشخصات چسب مورد استفاده در این مطالعه آورده شده است.

ستون می‌شود [11]. یوسفی و همکاران (۲۰۲۱)، پژوهشی را روی ستون‌های فولادی دایروی شکل خورده شده به صورت آزمایشگاهی و نرم‌افزاری انجام دادند، آن‌ها از سیستم خورده‌گی پیش‌رونده برای ایجاد آسیب در دو ناحیه میانه و پایه ستون استفاده کردند؛ شکل آسیب‌ها دایروی با مقطع ثابت به قطر ۸۰ میلی‌متر بود، آن‌ها دریافتند که خورده‌گی باعث کاهش شکل‌پذیری و اتلاف انرژی در ستون‌های آسیب‌دیده می‌شود [12]. بوچنان و همکاران (۲۰۱۸)، پژوهشی را در مورد کمانش و ضریب لاغری ستون‌های دایروی شکل سرد نورد شده انجام دادند، در این پژوهش که به صورت نرم‌افزاری و آزمایشگاهی انجام شد ۵ نوع ستون با سطح مقطع مختلف و طول مختلف بررسی شد و نتایج عددی و آزمایشگاهی با یکدیگر مقایسه شدند [13].

در بیشتر پژوهش‌های گذشته ستون‌ها بدون کمانش اولیه مدل‌سازی شده‌اند در صورتی که ستون‌های فولادی هنگام ساخت و حمل و نقل دچار کمانش می‌شوند. با توجه به اینکه کمانش کلی و موضعی تأثیر قابل توجه‌ای در تعیین باربری ستون‌ها دارد، استفاده از روشی که به توان این کمانش‌ها را قبل از تحلیل نمونه‌ها اعمال نمود از اهمیت زیادی برخوردار است. همچنین عضو فولادی به دلایل مختلف می‌تواند دچار آسیب شود که به صورت خرابی بخش یا قسمتی از سطح عضو دیده می‌شود. در این پژوهش ناکاملی حاصل از کمانش‌های اولیه، پیش از تحلیل به نمونه‌ها اعمال شد و همچنین ابعاد مختلف آسیب با درصد‌های ۲۵، ۵۰، ۷۵ و ۱۰۰ روی ستون‌ها مطالعه شد؛ در نهایت تأثیر استفاده از الیاف CFRP برای مقاوم‌سازی ستون‌ها بررسی شد.

## ۲- مشخصات مصالح و نمونه‌ها

در این پژوهش به‌منظور بررسی درصد آسیب و روش‌های مقاوم‌سازی، ۲۶ نمونه ستون تحت بار محوری استاتیکی مطالعه شدند. نمونه بدون آسیب به عنوان نمونه شاهد و ۲۵ نمونه ستون دارای درصد مختلف آسیب ۲۵، ۵۰، ۷۵ و ۱۰۰ به شکل‌های افقی و عمودی، که برخی از آن‌ها توسط الیاف کربنی مقاوم‌سازی شده‌اند بررسی شدند؛ در آسیب ۲۵ درصد، ضخامت سطح به‌اندازه ۲۵ درصد نسبت به ضخامت سطح سالم کاهش یافته است و در

جدول ۱. ابعاد و خواص ستون فولادی دایره‌ای شکل توانایی

| D<br>(mm) | t<br>(mm) | L<br>(mm) | $\lambda$ | $L/(w_0 + e_0)$ | E<br>(N/mm <sup>2</sup> ) | $F_y$<br>(N/mm <sup>2</sup> ) | $F_u$<br>(N/mm <sup>2</sup> ) | $\epsilon_r$<br>% |
|-----------|-----------|-----------|-----------|-----------------|---------------------------|-------------------------------|-------------------------------|-------------------|
| 105.67    | 2.70      | 3083.0    | 71.1      | 1044            | 226,600                   | 250                           | 614                           | 59.0              |

Table 1. Dimensions and properties of CHS column

شکل ۱. جزئیات هندسی ستون مقاوم‌سازی شده و بدون مقاوم‌سازی با آسیب افقی و عمودی به همراه شرایط تکیه‌گاهی و بارگذاری

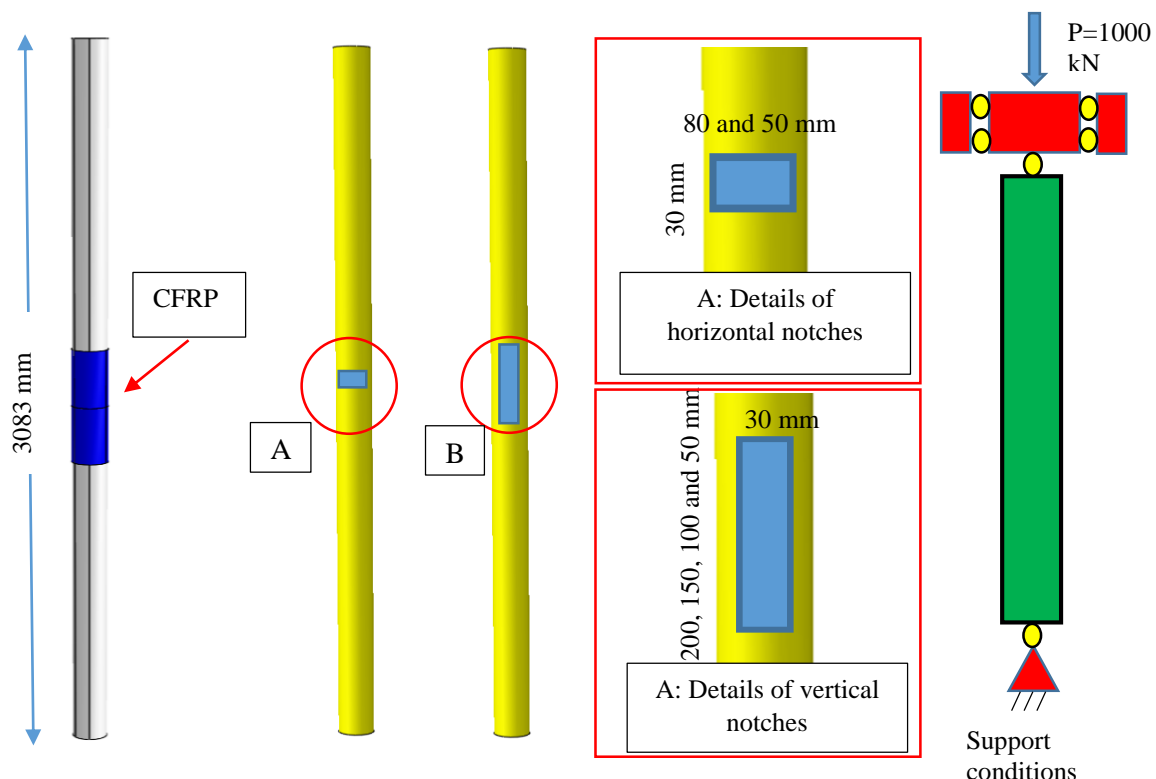


Fig. 1. Schematic details of the strengthened and non-strengthened column with horizontal and vertical damage with support and loading conditions

جدول ۲. خواص چسب و الیاف کربنی

| Material                     | Thickness<br>(mm) | Tensile Strength<br>(MPa) | Modulus of<br>elasticity<br>(MPa) | Ultimate Strain<br>(%) |
|------------------------------|-------------------|---------------------------|-----------------------------------|------------------------|
| CFRP (SikaWrap_-230 C) [14]  | 0.131             | 4300                      | 238000                            | 1.8                    |
| Adhesive (Sikadur_-330) [15] | 0.869             | 30                        | 4.5                               | 0.9                    |

Table 2. Properties of adhesives and carbon fibers

شامل ابعاد مختلف آسیب افقی و عمودی در میانه عضو هستند. به منظور بررسی تأثیر آسیب بر ظرفیت باربری، ابتدا ستون با ابعاد آسیب  $30 \times 50$  میلی‌متر مربع و درصدهای مختلف  $50$ ,  $75$  و  $100$  (درصد آسیب با توجه به نسبت ضخامت ناحیه آسیب‌دیده به ضخامت ستون در نظر گرفته شد) بررسی شدند و برای سایر نمونه‌ها آسیب‌های  $50$  درصد و  $100$  درصد مطالعه

۳- مدل‌سازی و تحلیل با نرم‌افزار  
۱-۳ مدل‌سازی  
ستون‌ها توسط نرم‌افزار آباکوس ۲۰۱۶ آماده شدند تا رفتار سازه‌ای آن‌ها مطالعه شود. به منظور بررسی آثار آسیب و روش‌های مقاوم‌سازی، ۲۶ نمونه ستون مطالعه شدند، که نمونه بدون آسیب به عنوان نمونه شاهد بررسی شد و ستون‌های دیگر

بوجنان و همکاران (۲۰۱۸) [13] در تحقیقی که انجام دادند از دو مقدار ناکاملی ( $e_0 + \omega_0$ ) و  $t/10$  در شبیه‌سازی استفاده کردند که باعث شد نتایج نرم‌افزاری به نتایج آزمایشگاهی خیلی نزدیک باشد و مقدار خطای کمی در تعیین ظرفیت باربری مشاهده شود؛ درنتیجه در این پژوهش نیز این دو مقدار استفاده شدند. درنهایت برای مشاهده کمانش غیرخطی نهایی، از تحلیل ریکس استفاده شد. برای شبیه‌سازی الیاف کربنی و چسب نیز از المان سه‌بعدی توپر به صورت ۲۰ گرهی استفاده شد و به دلیل خواص خطی، در نرم‌افزار نیز به صورت خطی تعریف شدند. با توجه به اینکه الیاف کربنی دارای ضریب ارجاعی بالا در جهت طولی هستند و در جهت عرضی چنین ویژگی را ندارند خواص به صورت مقادیر مهندسی اعمال شدند که برای این کار مقدار ضریب ارجاعی الیاف که در جدول (۲) بیان شده است به عنوان  $E_1$  و برای مقادیر  $E_2$  و  $E_3$  مقدار ۱۰۰۰ مگاپاسکال درنظر گرفته شد. در نرم‌افزار، الیاف و چسب به صورت مواد مرکب شد که از این میان ۴ لایه برای چسب به ضخامت  $0.869$  میلی‌متر و ۴ لایه برای الیاف با ضخامت  $0.131$  میلی‌متر است (ضخامت الیاف و چسب طبق دستورالعمل کارخانه مدل‌سازی شد و ضخامت آنها در جدول (۲) موجود است). برای الیاف کربنی لایه‌های اول و سوم با زاویه صفر درجه و برای لایه‌های دوم و چهارم زاویه  $90^\circ$  درجه در نظر گرفته شد. با این روش لایه‌ها یکی در میان به صورت طولی و عرضی مدل شدند و درنهایت چسب و الیاف با دستور Tie روی ستون نصب شدند.

چگونگی مدل کردن شرایط مرزی در حل مسئله و به دست آوردن نتایج مؤثر است و باید تا حد امکان به واقعیت نزدیک باشد، بر این اساس با توجه به شرایط تکیه‌گاهی ستون در آزمایشگاه، دونقطه مرجع (Reference point) در بالا و پایین ستون تعریف شدند و شرایط تکیه‌گاهی مفصلی به شکلی که همه درجات آزادی انتقالی در بالا و پایین به جز امکان تغییر مکان محوری ستون در بالا، بسته شدند و به نقاط مرجع اعمال شدند. همچنین باز به صورت فشاری و از نوع استاتیکی بر سطح مقطع عضو در بالا وارد شد. در تحلیل نمونه‌ها، بارگذاری تا زمانی که نمونه‌ها به حالت شکست برسند و کرنش خمیری حاصل شود

شدنند. قابل توجه است که برای همه نمونه‌ها عرض مقطع آسیب، به اندازه  $30$  میلی‌متر و به صورت ثابت درنظر گرفته شد. در شکل (۱)، هندسه ستون مقاوم‌سازی شده و بدون مقاوم‌سازی با آسیب افقی و عمودی نشان داده شده است.

### ۲-۳- تحلیل اجزای محدود

برای تحلیل نمونه‌ها از نرم‌افزار آباکوس ۲۰۱۶ استفاده شد و تحلیل غیرخطی هندسی و غیرخطی مواد همراه با ناکاملی درنظر گرفته شدند. هیچ قطعه‌ای به شکل صاف و کاملی که در نرم‌افزار مدل می‌شود ساخته نمی‌شود، وجود این ناکاملی‌ها باعث بروز پدیده کمانش در عضو می‌شود، برای ایجاد اندکی تغییر شکل جزئی در مدل‌ها از دستور ناکاملی در نرم‌افزار استفاده شد. در مدل‌سازی برای بررسی رفتار سازه‌ای مقاطع دایره‌ای شکل توخالی و وضعیت تنش‌ها در ضخامت مقطع به ویژه در ناحیه آسیب‌دیده، از المان توپر (Solid)،  $20$  گرهی (C3D20R) همراه با انتگرال کاهش‌یافته استفاده شد. انتخاب نوع مش توپر، نسبت به مش از نوع پوسته (Shell) که  $4$  گرهی است، با توجه به تعداد گره‌های بیشتر، دقت بیشتر را سبب می‌شود و از طرفی با توجه به وجود آسیب در ستون‌ها، برای بررسی شرایط تنش‌ها در ضخامت عضو، انتخاب مش از نوع توپر انتخاب بهتری است. در این مطالعه دو نوع ناکاملی کلی و موضعی استفاده شدند، برای این منظور نمونه‌ها ابتدا تحت تحلیل کمانشی قرار گرفتند و حالت‌های کمانش موضعی و کلی نمونه‌ها در نظر گرفته شد. سپس ناکاملی کلی که شامل دو مقدار  $e_0 + \omega_0$  (ترکیب به ترتیب نقص اولیه و خروج از مرکزیت) و کسری از طول مؤثر  $L/1000$  و دو مقدار ناکاملی موضعی  $10 t/100$  و  $t/100$  ضخامت مقطع) برای تحلیل به نمونه‌ها اعمال شدند.

$\omega_0 + e_0$  با توجه به رابطه (۱) تعیین شد [16-18]: در این رابطه  $E$  مدول یانگ،  $I$  ممان دوم،  $N$  بار محوری،  $D$  متوسط قطر خارجی،  $\omega$  جابه‌جایی جانبی میانه ستون،  $\epsilon_{max}$  و  $\epsilon_{min}$  بیشترین و کمترین مقدار کرنش است. که این مقادیر از پژوهش بوجنان و همکاران (۲۰۱۸) [13]، برای ستون  $3080-3\times106$  استخراج شدند.

$$\frac{EI (\epsilon_{max} - \epsilon_{min})}{DN} - \omega_0 = \omega_0 + e_0 \quad (1)$$

ادامه یافت.

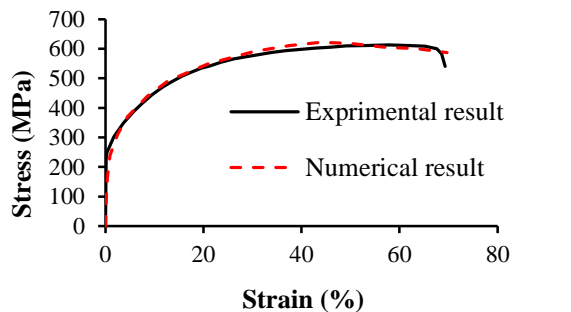
### ۳-۳- راستی آزمایی نتایج

به منظور راستی آزمایی نتایج شبیه‌سازی با نتایج آزمایشگاهی، ابتدا خواص مواد نمونه کشش فولاد که توسط بوچنان و همکاران (۲۰۱۸) [13] به صورت آزمایشگاهی انجام گرفته بود با مدل‌سازی درستی آزمایی شد که نمودار تنش و کرنش آن در شکل (۲) نشان داده شده است. سپس به دلیل آنکه نرم‌افزار آباکوس ۲۰۱۶ نیاز به خواص مواد به صورت تنش‌های واقعی و کرنش خمیری دارد، این مقادیر با استفاده از رابطه‌های (۲) و (۳) محاسبه شدند.

$$\varepsilon_{Plastic} = \ln(1 + \varepsilon_{nom}) - \frac{\sigma_{true}}{E} \quad (2)$$

$$\sigma_{true} = \sigma_{nom}(1 - \varepsilon_{nom}) \quad (3)$$

ضریب ارتاجاعی،  $\sigma_{nom}$  تنش مهندسی،  $\varepsilon_{nom}$  کرنش مهندسی،  $E$  تنش واقعی و  $\varepsilon_{Plastic}$  کرنش خمیری است. قابل توجه است که برای اعضای فشاری  $\varepsilon_{nom}$  به صورت منفی در رابطه‌ها قرار می‌گیرد. در جدول (۱)، خلاصه خواص و هندسه ستون ۱۰۶×۳-۳۰۸۰-P که به صورت آزمایشگاهی انجام شده است بیان شده است. تحلیل حساسیت اندازه شبکه، برای سه اندازه متفاوت ۰/۰۱۵، ۰/۰۲ و ۰/۰۱ متر در قالب نمودار در شکل (۳) نشان داده شده است. اندازه شبکه، دقت نتایج عددی و زمان محاسبات را تحت تأثیر قرار می‌دهد، دقت اندازه ۰/۰۱ و ۰/۰۱۵ متر تقریباً یکسان بود و با توجه به زمان تحلیل کمتر، اندازه شبکه ۰/۰۱۵ متر برای مدل‌سازی ستون انتخاب شد. در شکل (۴)، مقایسه نتایج آزمایشگاهی و نرم‌افزاری نشان داده شده است، همان‌گونه که در شکل مشخص است هماهنگی خوبی بین نتایج آزمایشگاهی و عددی مشاهده می‌شود. با توجه به مقدار خیلی کم تنش‌های پسماند (Membrane residual stresses) در مقاطع دایروی شکل سرد نورد شده، می‌توان از اعمال آن‌ها به نمونه‌ها در زمان تحلیل چشم‌پوشی کرد [19]. پارامترهای استفاده شده در این پژوهش شامل پارامترهای ثابت که عبارت‌اند



**Fig. 2.** Comparison of stress-strain diagram of 106 × 3-3080-P column and software modeling

برای درستی آزمایی مدل‌سازی الیاف کربنی، ستون کوتاه دارای مقاوم‌سازی (نمونه H1-100-10-2T2L) که توسط کریمیان و همکاران (۲۰۱۷) [11] به صورت آزمایشگاهی انجام شده است شبیه‌سازی شد. در نرم‌افزار لایه‌های اول و سوم با زاویه صفر درجه و برای لایه‌های دوم و چهارم زاویه ۹۰ درجه در نظر گرفته شد. در واقع به دلیل مدول پایین در جهت عرضی، در آزمایشگاه نیز الیاف به صورت یکی در میان طولی و عرضی نصب می‌شوند شکل (۵). این نوع روش نصب برای الیاف کربنی از نوع پارچه‌ای (CFRP sheets)، به طور معمول استفاده می‌شود.

شکل ۳. نمودار حساسیت اندازه شبکه، برای ستون  $106 \times 3$ -3080-P به صورت آزمایشگاهی [13] و مدل‌سازی با اندازه شبکه مختلف

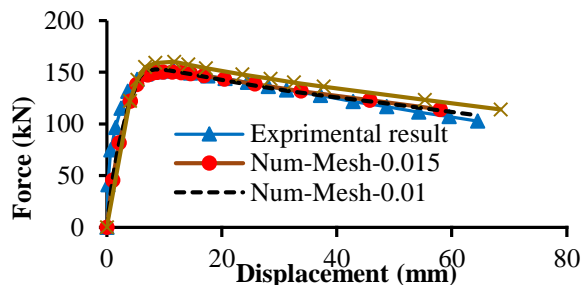


Fig. 3. Mesh size sensitivity diagram, for column  $106 \times 3$ -3080-P 106 [13] and modeling

شکل ۴. کمانش کلی ستون  $106 \times 3$ -3080-P: a) به صورت آزمایشگاهی [13]، b) مدل‌سازی نرم‌افزاری در این پژوهش

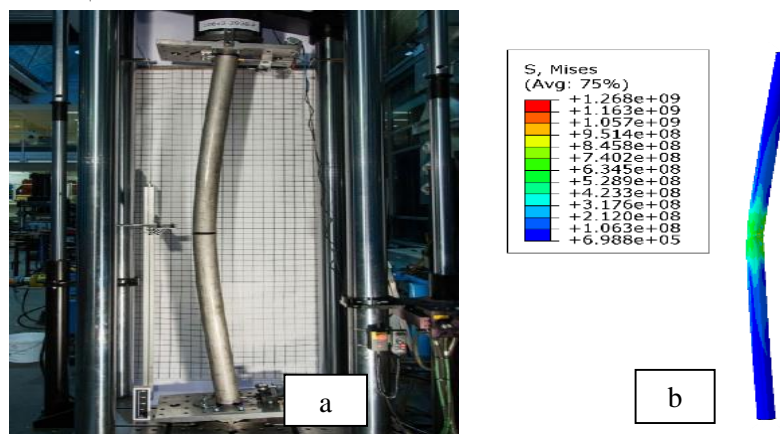


Fig. 4. Global buckling of the column  $106 \times 3$ -3080-P: a) Laboratory [13], b) Software modeling in this research

شکل ۵. چگونگی قرار گرفتن الیاف به دور ستون دایره‌ای شکل فولادی در آزمایشگاه

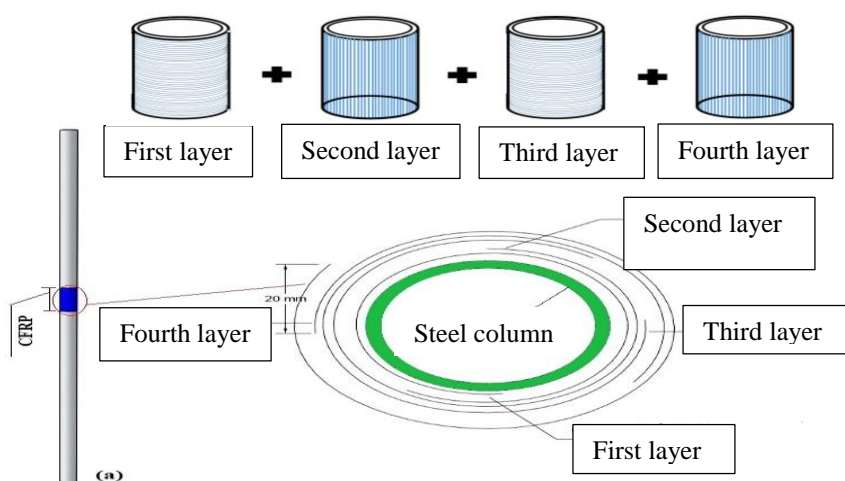


Fig. 5. Strengthening method of the circular steel column in the laboratory

سایر نمونه ها با آن سنجیده شود تحلیل شد. برای نامگذاری مدل ها از افقی و عمودی بودن، اندازه مقطع آسیب دیده، تعداد و اندازه ای طول الیاف کربنی استفاده شده است که آسیب افقی با (H) و آسیب عمودی با (V) نشان داده شد. در نامگذاری نمونه ها، علامت درصد نشان دهنده درصد آسیب است و در نمونه های دارای مقاوم سازی تعداد لایه های کربنی، به صورت دولایه (2L)، چهار لایه (4L) و عدد آخر نشان دهنده طول الیاف کربنی است.

برای نمونه در ستون H-50-30-50% :

H: نشان دهنده شکل آسیب به صورت افقی، 50: نشان دهنده طول مقطع آسیب به میلی متر، 30: نشان دهنده عرض مقطع آسیب به میلی متر و عدد آخر درصد آسیب است. در نمونه V-200-30-4L250: نشان دهنده شکل آسیب به صورت عمودی، 200: نشان دهنده طول مقطع آسیب به میلی متر، 4L250: نشان دهنده عرض مقطع آسیب به میلی متر، 30: نشان دهنده عرض مقطع آسیب به میلی متر است. مقاوم سازی با ۴ لایه الیاف کربنی به طول ۲۵۰ میلی متر است. شایان ذکر است که در نمونه های مقاوم سازی شده میزان آسیب به صورت حالت بحرانی و ۱۰۰ درصد انتخاب شده است. مشخصات کلیه نمونه ها در جدول (۳) آورده شده است.

#### ۴- تفسیر و تحلیل نتایج

##### ۴-۱- ظرفیت باربری

در جدول (۳) نتایج تحلیل نرم افزاری نمونه های مقاوم سازی و بدون مقاوم سازی نشان داده شده است. به منظور بررسی تعداد و طول مؤثر الیاف کربنی، از ۲ یا ۴ لایه و سه طول ۲۵۰، ۵۰۰ و ۱۰۰۰ میلی متر برای مقاوم سازی استفاده شدند. همچنین برای بررسی تأثیر درصد آسیب، ابتدا ستون با آسیب افقی  $50 \times 30$  میلی متر مربع با درصد های مختلف آسیب ۱۰۰، ۷۵، ۵۰، ۲۵ و ۵۰ مطالعه شد و برای سایر نمونه ها درصد های ۵۰ و ۱۰۰ اعمال شد. با توجه به اینکه دو پارامتر وقت و هزینه، از عوامل تأثیرگذار در انتخاب روش مناسب برای مقاوم سازی اعضای فولادی هستند، برای مقاوم سازی در ابتدا از دولایه الیاف کربنی استفاده شد. با توجه به اینکه استفاده از دولایه الیاف کربنی ظرفیت باربری ستون آسیب دیده را به طور کامل جبران نکرد در نهایت از

شکل های (۶ و ۷) نشان می دهند که مدل سازی الیاف با دقت مناسبی انجام گرفته است.

**H1-100-10-2T2L** شکل ۶. گسیختگی الیاف CFRP برای ستون انجام شده به صورت آزمایشگاهی [11] و نرم افزاری در این پژوهش

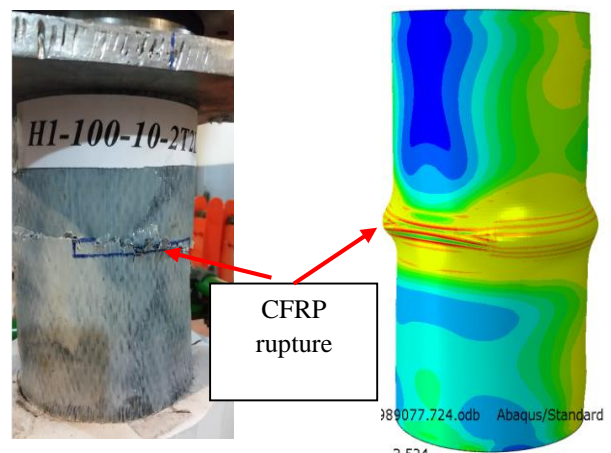


Fig. 6. CFRP rupture for H1-100-10-2T2L performed in laboratory [11] and software in this research

**H1-100-10-2T2L** شکل ۷. نمودار نیرو به تغییر مکان برای ستون انجام شده به صورت آزمایشگاهی [11] و نرم افزاری در این پژوهش

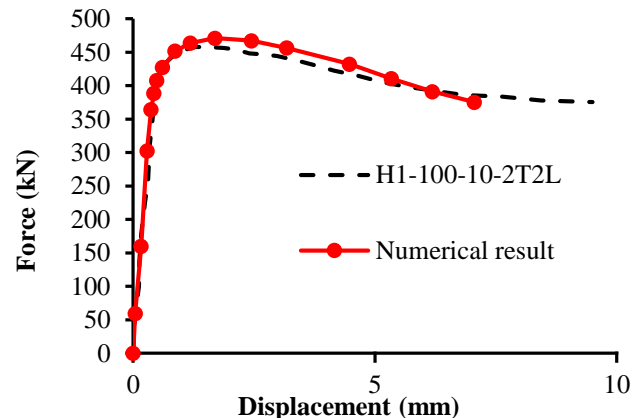


Fig. 7. Force to displacement diagram for H1-100-10-2T2L performed experimentally [11] and software in this research.

#### ۴-۳- نامگذاری نمونه ها

در این مطالعه مقاطع فولادی شامل یک نمونه کنترل و مقاطع آسیب دیده دارای عرض ثابت به اندازه های ۳۰ میلی متر هستند. نمونه کنترل (نمونه بدون آسیب و مقاوم سازی) برای اینکه بار نهایی

درصد نسبت به ستون سالم و ۳۸ درصد نسبت به همان ستون بدون مقاوم سازی بود. از آنجایی که هدف از این پژوهش جبران آسیب به وجود آمده و رساندن ظرفیت باربری به میزان نمونه بدون آسیب است، مقاوم سازی ستون های آسیب دیده با الیاف به طول ۱۰۰۰ میلی متر، میزان باربری نهایی را بیشتر از ستون سالم نشان داد که از نظر اقتصادی به صرفه نیست، درنتیجه طول مقاوم سازی ۲۵۰ میلی متر برای سایر نمونه ها انتخاب شد.

اعمال آسیب  $30 \times 50$  میلی متر مربع به صورت عمودی باعث شد که ستون باربری نهایی برابر با  $140/2$  کیلو نیوتن را تجربه کند. به دلیل تأثیر ناچیز آسیب عمودی نسبت به شکل افقی آن، طول های ۱۰۰، ۱۵۰ و ۲۰۰ میلی متر نیز به صورت عمودی و تخریب ۱۰۰ درصد بررسی شدند که به ترتیب ظرفیت باربری  $134/58$ ،  $130/1$  و  $128/88$  کیلو نیوتن حاصل شد. به منظور مطالعه درصد آسیب با توجه به ضخامت مقطع، مقادیر آسیب  $25$ ،  $50$ ،  $75$  و  $100$  درصد نیز مطالعه شدند که شکل های افقی آسیب ها آثار مخرب تری را نشان دادند. در شکل (۱۱) نمودار مقایسه نیرو به تغییر مکان برای آسیب افقی و عمودی نشان داده شده است.

با توجه به تأثیر بیشتر آسیب افقی نسبت به شکل عمودی آن، می توان نتیجه گرفت هر چه مقدار عرض آسیب (در طول کمان افقی ستون دایره ای) بیشتر می شود سختی ستون نیز نسبت به طول عمودی، به میزان قابل ملاحظه ای کاهش می یابد و باعث شکست سریع تر ستون می شود. همچنین شرایط تکیه گاهی و ایجاد کمانش کلی در میانه ستون، نیز می تواند به عنوان عاملی مهم در مقدار کاهش سختی و مقاومت ستون مؤثر باشد.

چهار لایه الیاف کربنی برای مقاوم سازی استفاده شد. چگونگی مقاوم سازی بر اساس مطالعه آزمایشگاهی و عددی انجام شده توسط کریمیان و همکاران (۲۰۱۷) [۱۱]، که از چهار لایه الیاف کربنی به صورت طولی و عرضی استفاده کرده اند صورت گرفت، درصد افزایش یا کاهش باربری نهایی نمونه ها نسبت به نمونه کنترل مقایسه شد. با توجه به جدول (۳) وجود آسیب افقی در ستون H-50-30 با ابعاد  $50 \times 30$  میلی متر مربع و درصد آسیب  $25\%$ ، باعث کاهش باربری نهایی به اندازه  $2/66$  درصد و برای آسیب های  $50\%$  و  $75\%$  میزان کاهش باربری نهایی به ترتیب  $6/5$  و  $10$  درصد مشاهده شد. پس از آسیب  $75\%$ ، ظرفیت باربری به میزان قابل توجه کاهش یافت به طوری که با آسیب  $100\%$ ، کاهش  $20$  درصدی در مقدار باربری نهایی دیده شد.

در شکل (۸)، نمودار مقایسه باربری نهایی ستون H-50-30 در ارای آسیب افقی با درصد های مختلف نشان داده شده است. همچنین مشاهده می شود که عمله کاهش باربری زمانی اتفاق می افتد که آسیب  $100$  درصدی به وجود آید و کل مقطع آسیب دیده دچار خرابی شود. باید توجه داشت که وجود آسیب در میانه ستون که تحت بار فشاری است و کمانش کلی دارد، باعث شد که سختی ستون به میزان قابل ملاحظه ای کم شود. در واقع نسبت به میزان بار ثابت، ستون در زمانی که آسیبی به آن وارد می شود مقاومت کمتری دارد و دچار کمانش و تغییر مکان افقی بیشتر نسبت به ستون سالم می شود. با افزایش ابعاد آسیب به اندازه  $80 \times 30$  میلی متر مربع در نمونه H-80-30 کاهش باربری برای آسیب های  $50$  و  $100$  درصد به ترتیب از  $8/3$  درصد به  $52$  درصد رسید. شکل (۹)، مقایسه نمودار دو ستون H-50-30-100% و H-80-30-100% را نشان می دهد.

برای جبران آسیب به وجود آمده طول های مختلف الیاف کربنی استفاده شدند. شکل (۱۰)، نشان دهنده تأثیر مناسب الیاف در جبران سختی و ظرفیت باربری ستون است. به شکل کلی استفاده از این الیاف با توجه به ضریب ارجاعی بالایی که دارند سختی ستون را افزایش دادند و ناحیه آسیب دیده پوشش یافت. افزایش باربری نهایی برای ستون H-50-30-4L1000 که مقاوم سازی شده با طول  $1000$  میلی متر است به اندازه  $18$

جدول ۳. مشخصات، ابعاد آسیب و ظرفیت باربری نمونه‌ها

| No | Specimen       | Deficiency  |            |            | CFRP length (mm) | Load bearing Capacity |                        |
|----|----------------|-------------|------------|------------|------------------|-----------------------|------------------------|
|    |                | Length (mm) | Width (mm) | Position   |                  | Load (kN)             | Increase/ decrease (%) |
| 1  | Control        | N/A         | N/A        | N/A        | N/A              | 150.2                 | -                      |
| 2  | H-50-30-25%    | 50          | 30         | Horizontal | N/A              | 146.4                 | -2.66                  |
| 3  | H-50-30-50%    | 50          | 30         | Horizontal | N/A              | 140.2                 | -6.5                   |
| 4  | H-50-30-75%    | 50          | 30         | Horizontal | N/A              | 135.3                 | -10                    |
| 5  | H-50-30-100%   | 50          | 30         | Horizontal | N/A              | 120.5                 | -20                    |
| 6  | H-80-30-50%    | 80          | 30         | Horizontal | N/A              | 137.74                | -8.3                   |
| 7  | H-80-30-100%   | 80          | 30         | Horizontal | N/A              | 72.46                 | -52                    |
| 8  | H-50-30-2L250  | 50          | 30         | Horizontal | 250              | 137.51                | -8.44                  |
| 9  | H-50-30-4L250  | 50          | 30         | Horizontal | 250              | 154.85                | +3                     |
| 10 | H-50-30-4L500  | 50          | 30         | Horizontal | 500              | 166.18                | +10                    |
| 11 | H-50-30-4L1000 | 50          | 30         | Horizontal | 1000             | 177.78                | +18                    |
| 12 | H-80-30-4L250  | 80          | 30         | Horizontal | 250              | 148.8                 | -1                     |
| 13 | V-50-30-25%    | 50          | 30         | Vertical   | N/A              | 149.4                 | -0.53                  |
| 14 | V-50-30-50%    | 50          | 30         | Vertical   | N/A              | 147                   | -2.13                  |
| 15 | V-50-30-100%   | 50          | 30         | Vertical   | N/A              | 140.2                 | -6.6                   |
| 16 | V-100-30-50%   | 100         | 30         | Vertical   | N/A              | 145.75                | -2.96                  |
| 17 | V-100-30-100%  | 100         | 30         | Vertical   | N/A              | 134.58                | -10                    |
| 18 | V-150-30-50%   | 150         | 30         | Vertical   | N/A              | 143.8                 | -4.26                  |
| 19 | V-150-30-100%  | 150         | 30         | Vertical   | N/A              | 130.1                 | -13.3                  |
| 20 | V-200-30-50%   | 200         | 30         | Vertical   | N/A              | 142.1                 | -5.39                  |
| 21 | V-200-30-100%  | 200         | 30         | Vertical   | N/A              | 128.88                | -14                    |
| 22 | V-50-30-2L250  | 50          | 30         | Vertical   | 250              | 146.2                 | -2.66                  |
| 23 | V-50-30-4L250  | 50          | 30         | Vertical   | 250              | 156.12                | +3.9                   |
| 24 | V-100-30-4L250 | 100         | 30         | Vertical   | 250              | 155.88                | +3.7                   |
| 25 | V-150-30-4L250 | 150         | 30         | Vertical   | 250              | 154.1                 | +2.5                   |
| 26 | V-200-30-4L250 | 200         | 30         | Vertical   | 250              | 153                   | +1.8                   |

Table 3. Specifications, damage dimensions and bearing capacity of the samples

شکل ۹. نمودار مقایسه نیرو به تغییر مکان ستون‌های داری آسیب به شکل افقی نسبت به نمونه کنترل

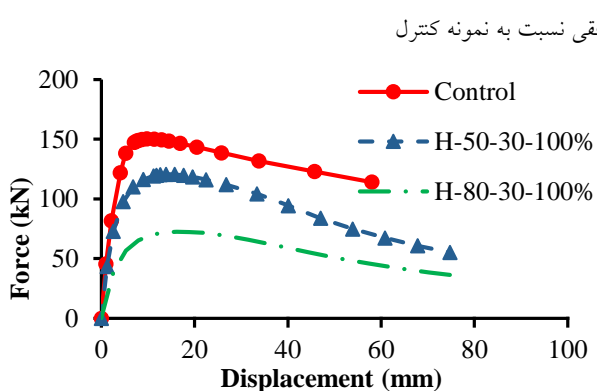


Fig. 9. Force-Displacement of the columns with horizontal damage comparison to the control sample

شکل ۸. نمودار نیرو به تغییر مکان برای ستون با درصد آسیب افقی مختلف

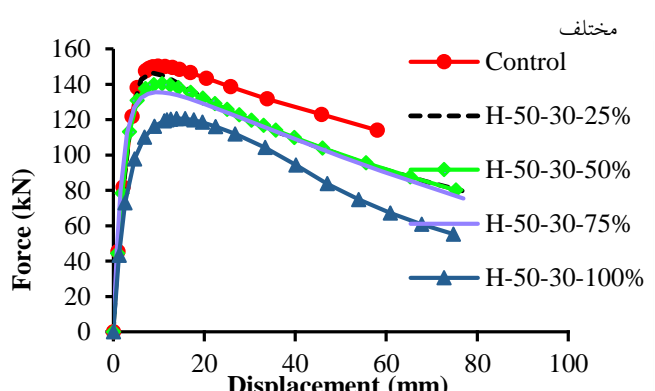


Fig. 8. Force-Displacement of the columns with different horizontal damage percentages

## ۲-۴- حالت‌های شکست و خرابی نمونه‌ها

نمونه‌های مقاوم‌سازی شده و بدون مقاوم‌سازی تحت بارگذاری فشاری توسط نرم‌افزار تحلیل شدند و تا زمان رسیدن به باربری نهایی و مشاهده کرنش‌های خمیری، بارگذاری ادامه یافت. در شکل (۱۲-الف)، نمونه با آسیب افقی و درصد آسیب ۵۰ درصد است که اعمال بار علاوه بر کمانش کلی ستون باعث به وجود آمدن تورفتگی اطراف آسیب و افزایش تنش‌ها در این ناحیه شد. برای ستون با همان اندازه و درصد آسیب ولی به شکل عمودی، حالت شکست به شکل بیرون آمدگی در ناحیه آسیب که به اصطلاح به شکست پافیلی (Elephant foot failure) معروف است مشاهده شد (شکل ۱۲-ب). در شکل (۱۳-الف)، برای نمونه بدون مقاوم‌سازی و دارای آسیب افقی ۱۰۰ درصد، افزایش بارگذاری باعث تشدید تنش‌ها در اطراف ناحیه آسیب دیده شد و بعد از گذر از مرحله کشسان ستون تغییر شکل داد. علاوه بر کمانش کلی در راستای ستون، کمانش موضعی به صورت جمع‌شدگی در لبه‌های آسیب به وجود آمد و در ادامه کمانش کلی ستون منحرف به سمتی دیگر شد. برای ستون با آسیب ۱۰۰ درصد به شکل عمودی، افزایش بارگذاری سبب افزایش سطح مقطع آسیب شد و پس از تشدید تنش‌ها، کمانش موضعی به وجود آمد. درواقع در آسیب عمودی تمايل به باز شدن لبه‌های ناحیه آسیب دیده مشاهده شد (شکل ۱۳-ب). برای مقاوم‌سازی از چهار لایه الیاف کربنی استفاده شد که باعث تأخیر در کمانش موضعی در ناحیه آسیب دیده شد. همان‌گونه که در شکل‌های (۱۳-پ و ۱۳-ت) قابل مشاهده است الیاف کربنی در ناحیه آسیب دیده دارای شدت تنش بیشتری هستند و به حالت گسیختگی رسیده‌اند.

شکل ۱۰. نمودار نیرو به تغییر مکان برای ستون‌های دارای آسیب افقی و

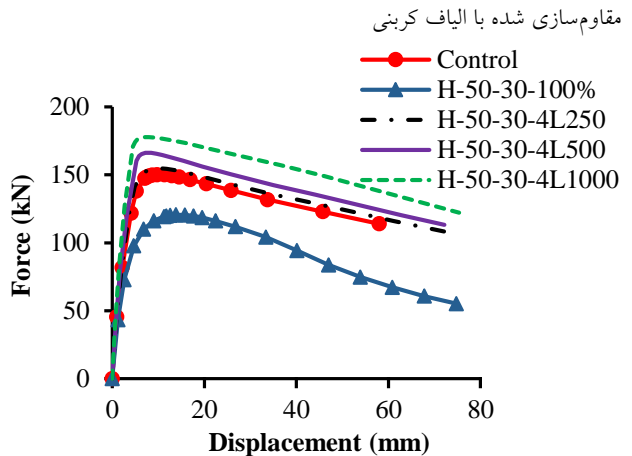


Fig. 10. Force-Displacement diagram for horizontal damaged columns strengthened with carbon fiber

شکل ۱۱. نمودار مقایسه نیرو به تغییر مکان ستون‌های دارای آسیب افقی نسبت به آسیب قائم

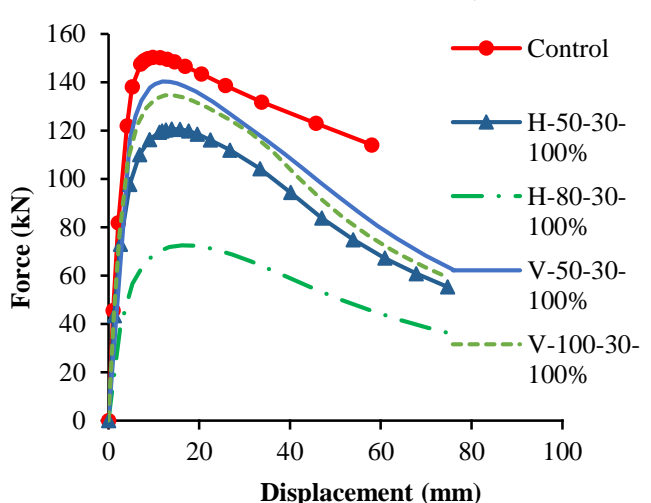


Fig. 11. Force-Displacement comparison of the columns with horizontal and vertical damage

شکل ۱۲. مقایسه حالت‌های شکست نمونه‌ها: (الف) نمونه H-50-30-50%؛ (ب) نمونه V-50-30-50%

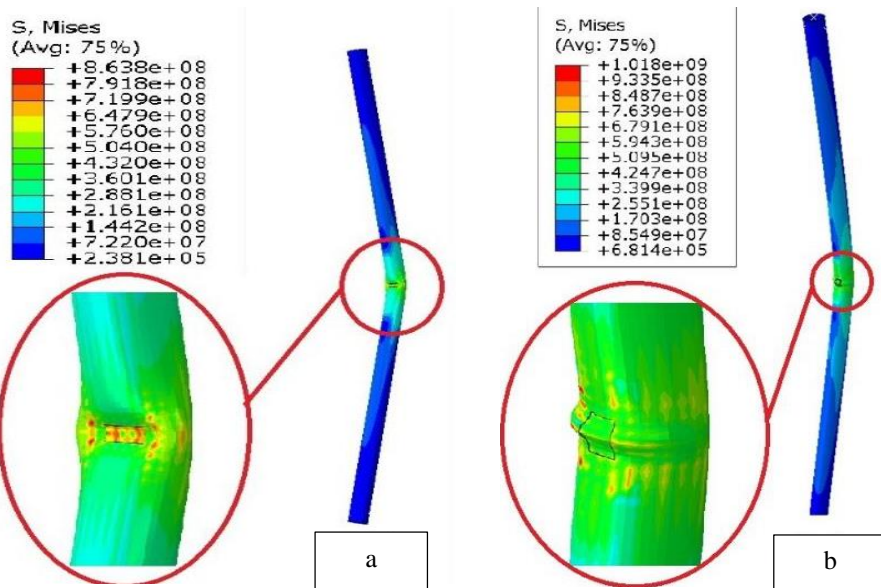


Fig. 12. Comparison failure modes of the samples: (a) H-50-30-50%; (b) V-50-30-50%

شکل ۱۳. مقایسه حالت‌های شکست نمونه‌ها: (الف) نمونه H-80-30-100%؛ (ب) نمونه V-200-30-100%؛ (ت) نمونه H-80-30-4L250؛ (پ) نمونه V-200-30-4L250

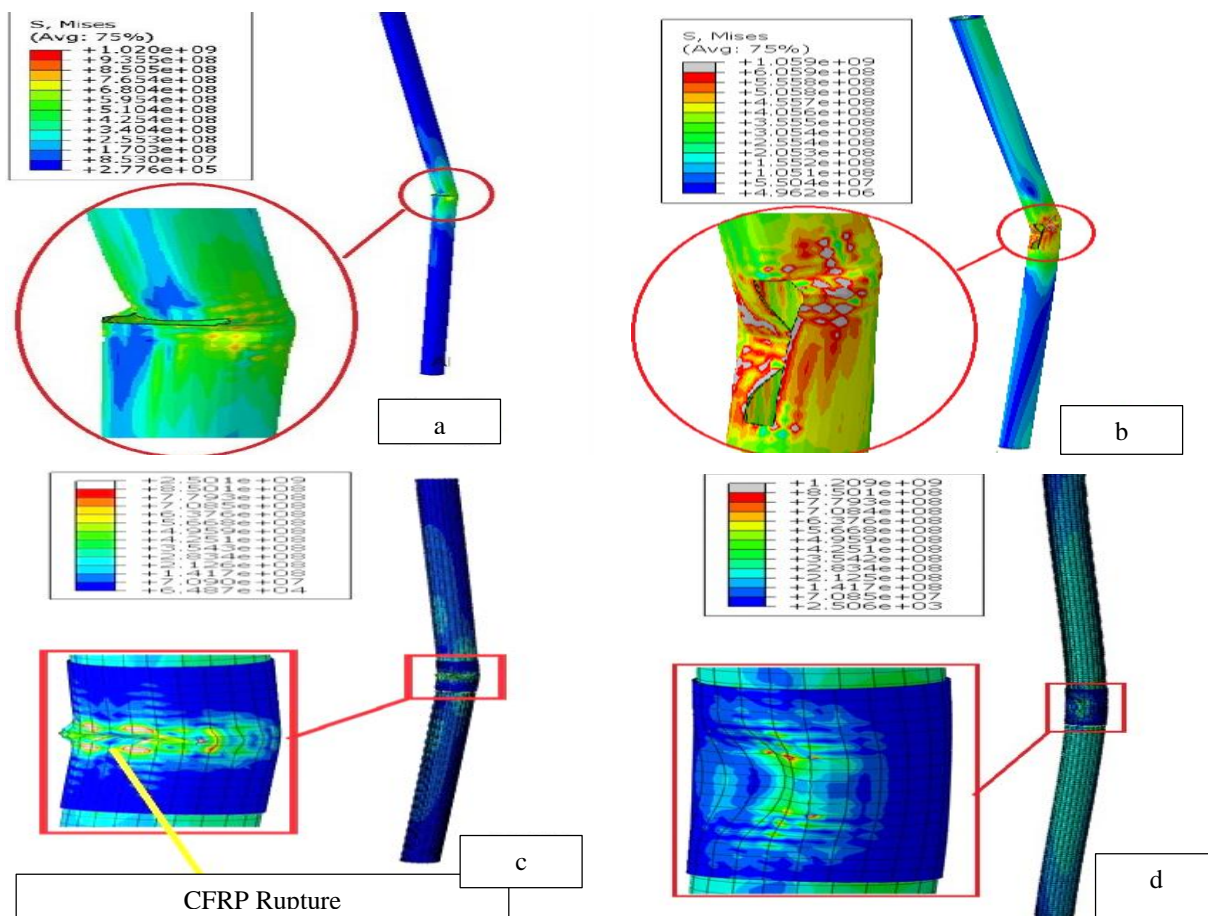


Fig. 13. Comparison failure modes of the samples: (a) H-80-30-100%; (b) V-200-30-100%; (c) H-80-30-4L250; (d) V-200-30-4L250

## ۵- نتیجه‌گیری

تجربه کردند. با توجه به نتایج می‌توان نتیجه گرفت یکی از دلایل نسبت کاهش بیشتر در آسیب افقی، اعمال آسیب در بخش زیادی از محیط ستون و در مرکز آن انجام شده است و چون ستون تحت بار محوری خالص است، تمرکز کمانش کلی در این ناحیه اتفاق افتاده است و ستون نتوانسته است عملکرد سازه‌ای مناسبی را نشان دهد.

- حالت‌های شکست در نمونه کنترل به صورت کمانش کلی با تمرکز در میانه ستون، در نمونه‌های دارای آسیب افقی بدون الیاف کربنی، کمانش موضعی به شکل جمع شدگی لبه‌های ناحیه آسیب‌دیده و برای آسیب عمودی، کمانش موضعی به صورت بازشدگی لبه‌های آسیب مشاهده شد. باید توجه داشت که کمانش کلی در طول ستون برای همه ستون‌ها اتفاق افتاده است؛ در خصوص نمونه‌های تقویت شده به وسیله الیاف، تمرکز تنش‌ها در اطراف ناحیه آسیب‌دیده مشاهده شد.

## ۶- مراجع

- [1] Jiao H., Zhao XL. 2004 CFRP strengthened butt-welded very high strength (VHS) circular steel tubes. *Thin-Walled Structures*, 42(7), 963-78.
- [2] Shaat A., Fam A. 2006 Axial loading tests on short and long hollow structural steel columns retrofitted using carbon fibre reinforced polymers. *Canadian Journal of Civil Engineering*, 33(4), 458-70.
- [3] Gao XY., Balendra T., Koh CG. 2013 Buckling strength of slender circular tubular steel braces strengthened by CFRP. *Engineering Structures*, 46, 547-56.
- [4] Dong H., Jiangfeng D., Qingyuan W. & Xuelian C. 2011 Mechanical behaviour of recycled concrete filled steel tube columns strengthened by CFRP. *International Conference on Multimedia Technology*, 26-28.
- [5] Xu Y., Tang H., Chen J., Jia Y. & Liu R. 2021 Numerical analysis of CFRP-confined concrete-filled stainless steel tubular stub columns under axial compression. *Journal of Building Engineering*, 37, 102130.
- [6] Shahraki M., sohrabi MR., Azizian G. & Narmashiri K. 2019 Reliability Assessment of CFRP-Strengthened Deficient Steel SHS Columns *AUT Journal of Civil Engineering*, 3(1), 23-36.

در این پژوهش با استفاده از نرم‌افزار اجزای محدود آباکوس ۲۰۱۶ به تحلیل و بررسی اثر آسیب بر ظرفیت باربری و گسیختگی ستون آسیب‌دیده پرداخته شد و در ادامه برای مقاومت‌سازی ستون‌های دایروی شکل آسیب‌دیده از دو و چهار لایه الیاف کربنی استفاده شد. در مدل‌سازی ستون، ابتدا برای به دست آوردن حالت‌های کمانش، تحلیل کمانشی انجام شد. در ادامه برای رسیدن به حالت شکست و مشاهده کمانش‌های بعد از کمانش اولیه از تحلیل غیرخطی ریکس و اعمال مقادیر ناکاملی استفاده شده است. هدف اصلی این پژوهش، بررسی درصد آسیب، شکل و ابعاد آن در کاهش باربری نهایی ستون و مقاومت‌سازی جهت جبران کاهش مقاومت ایجاد شده در ستون‌های دایروی شکل فولادی بود. برای این منظور تعداد ۲۶ نمونه ستون که دارای آسیب به شکل افقی و عمودی بودند بررسی و مقایسه شدند که نتایج زیر حاصل شد.

- در ستون دارای آسیب با ابعاد  $50 \times 30$  میلی‌مترمربع با درصد آسیب متفاوت، تأثیر آسیب بر ستون نشان داد که عدمه کاهش باربری نهایی زمانی اتفاق افتاده است که ۱۰۰ درصد ناحیه‌ی آسیب ۲۵ درصد میزان کاهش ظرفیت باربری برای آسیب افقی ۲/۶۶ درصد و برای ستون با آسیب عمودی این مقدار کمتر از یک درصد مشاهده شد که نشان‌دهنده عدم لزوم مقاومت‌سازی برای جبران کاهش بار به ویژه در شکل عمودی آسیب برای آسیب‌های کمتر از ۲۵ درصد است.
- در ستون دارای آسیب افقی با ابعاد  $50 \times 30$  میلی‌مترمربع در وسط عضو، وجود آسیب ظرفیت تحمل بار در ستون دایروی شکل را تا ۲۰ درصد کاهش داد، که استفاده از ۴ لایه الیاف کربنی ظرفیت باربری نهایی تقلیل یافته را به طور کامل جبران کرد. الیاف کربنی با محصور نمودن ستون دایروی شکل فولادی باعث به تأخیر انداختن کمانش موضعی شدن و شدت تنش‌ها را در ناحیه آسیب کاهش دادند.
- ستون‌های دارای آسیب افقی نسبت به ستون با شکل آسیب عمودی، به‌طور قابل ملاحظه‌ای کاهش ظرفیت باربری را

- [17] Zhao O., Gardner L., Young B. 2016 Structural performance of stainless steel circular hollow sections under combined axial load and bending—Part 1: Experiments and numerical modelling. *Thin-Walled Structures*, 101, 231-9.
- [18] Zhao O., Rossi B., Gardner L. & Young B. 2015 Behaviour of structural stainless steel cross-sections under combined loading—Part I: Experimental study. *Engineering structures*, 89, 236-46.
- [19] Cruise R., Gardner L. 2008 Residual stress analysis of structural stainless steel sections. *Journal of Constructional Steel Research*, 64(3), 352-66.
- [7] Keykha AH. 2019 Structural performance evaluation of deficient steel members strengthened using CFRP under combined tensile, torsional and lateral loading. *Journal of Building Engineering*, 24, 100746.
- [8] Wang YH., Wang YY., Zhou XH. & et al. 2021 Coupled ultimate capacity of CFRP confined concrete-filled steel tube columns under compression-bending-torsion load. *Structures*, 31, 558-75.
- [9] Yousefi O., Narmashiri K., Ghaemdoost MR. 2017 Structural behaviors of notched steel beams strengthened using CFRP strips. *Steel and Composite Structures*, 25(1), 35-43.
- [10] Ghaemdoost MR., Narmashiri K., Yousefi O. 2016 Structural behaviors of deficient steel SHS short columns strengthened using CFRP. *Construction and Building Materials*, 126, 1002-11.
- [11] Karimian M., Narmashiri K., Shahraki M. & Yousefi O. 2017 Structural behaviors of deficient steel CHS short columns strengthened using CFRP. *Journal of Constructional Steel Research*, 138, 555-64.
- [12] Yousefi O., Narmashiri K., Hedayat AA. & Karbakhsh A. 2021 Strengthening of corroded steel CHS columns under axial compressive loads using CFRP. *Journal of Constructional Steel Research*, 178, 106496.
- [13] Buchanan C., Real E., Gardner L. 2018 simulation and design of cold-formed stainless steel CHS columns. *Thin-Walled Structures*, 130, 297-312.
- [14] Sika, in, Sika Warp -230 C. Product Data Sheet, 13/06/2006.
- [15] Sikadur, in, Sikadur-330. Product Data Sheet, 21/02/2012.
- [16] Huang Y., Young B. 2014 Experimental investigation of cold-formed lean duplex stainless steel beam-columns. *Thin-Walled Structures*, 76, 105-17.

# Strengthening of defected circular steel columns using CFRP

Omid Yousefi <sup>1\*</sup>, Amir Ahmad Hedayat <sup>2</sup>, Kambiz Narmashiri <sup>3</sup>, Ali Karbakhsh <sup>4</sup>, Amin Shabani Ammari <sup>5</sup>

1. Department of Civil Engineering, Nikshahr Branch, Islamic Azad University, Nikshahr, Iran
2. Department of Civil Engineering, Kerman Branch, Islamic Azad University, Kerman, Iran
3. Department of Civil Engineering, Zahedan Branch, Islamic Azad University, Zahedan, Iran
4. Department of Civil Engineering, Sirjan Branch, Islamic Azad University, Sirjan, Iran
5. Department of Civil Engineering, Zahedan Branch, Islamic Azad University, Zahedan, Iran

Omid.Yousefi88@gmail.com

## Abstract

Most members of structures whose useful life has elapsed need to be repaired. These members may be damaged by a variety of factors. Due to the high cost of reconstruction, a large portion of countries' development budgets are spent annually repairing and rehabilitate these structures. Compressive members such as columns are one of the most important components in a structure that play a major role in bearing and transporting all the vertical and lateral loads of the building. Basically, no column can bear to its fullest capacity and is failed by buckling. As a result, many researchers are interested in retrofitting and increasing column strength using new materials and methods. In this investigation, damaged circular hollow section steel columns with vertical and horizontal notches and different percentages of 25, 50, 75 and 100% were examined, also the effects of Carbon Fiber Reinforced Polymer (CFRP) for strengthening has been studied. 26 specimens of steel Circular Hollow Section (CHS) column with the same height and different damage dimensions under compressive load were analyzed by ABAQUS 2016 software. The main problem with slender columns is the global buckling under compressive loads. In order to improve the accuracy of the analysis, a combined method was used to study the post-buckling of the plastic zone. For this purpose, the specimens were first subjected to elastic buckling analysis and then Riks non-linear analysis with global and local imperfections was conducted. The results showed that the defect reduces the bearing capacity and rigidity of the steel columns and horizontal defect is more effective in reducing ultimate load in compare to vertical damage. Horizontal-defective columns experienced significantly lower load bearing capacity than vertical-defective columns and can reduce final load up to 52% in 100% damage, which this reduction indicated that by increasing damage along the perimeter of the column section, final load decreased sharply. The results also showed that it is critical when the deficiency zone is entirely destroyed, while the effect of damage less than 25% was maximum 2.66%. Columns failure occurred in the form of global and local buckling; in all cases global buckling emerged in the form of the column bending, but the local buckling was different according to the type of the damage. Failure modes of the control column is global buckling with focus on the middle of the column, for non-strengthened specimens with horizontal and 100% damage, local buckling is shrinkage of notch edges and for vertical notch is defect edges opening. In specimens with a lower percentage of damage, local buckling occurred for horizontal defects in the form of the inward buckling on the middle and for the vertical ones was outward buckling. Strengthening of columns retrofitted with CFRP presented that these kind of fibers have a positive effect on significant gaining ultimate load capacity, delaying defect buckling, controlling fractures and reducing stresses at the damaged area. CFRP strengthening of defected cases using 4 layers, restored the reduction of ultimate load up to 51%, which shows the proper performance of the fibers in retrofitting.

**Keywords:** Strengthening; Damaged column; Steel column; Column buckling; CFRP